

# TỔNG HỢP VÀ THĂM DÒ HOẠT TÍNH SINH HỌC PHỨC CHẤT CỦA TECBI VỚI AXIT L-ASPARTIC

Lê Hữu Thiêng<sup>1\*</sup>, Nguyễn Trọng Uyên<sup>2</sup>, Lê Thị Bích Ngọc<sup>1</sup>

<sup>1</sup>Khoa Hóa học, Trường Đại học Sư phạm, Đại học Thái Nguyên

<sup>2</sup>Khoa Hóa học, Trường Đại học Khoa học Tự nhiên, Đại học Quốc gia Hà Nội

Đến Tòa soạn 20-9-2013; Chấp nhận đăng 4-12-2014

## Abstract

The complex of tecbi with L-aspartic acid was separated in solid form. The complex structure was studied by the elementary-analysis, thermal analysis and infra-red absorption spectroscopy methods. Solid complex substance contains the component Tb(HAsp)<sub>3</sub>.3H<sub>2</sub>O. Biological activity of the complex was indicated. At the concentration of from 30 ppm to 240 ppm, the complex has influence on the inhibit sprout and peanut development, inhibits are increased according to the concentration. The complex has inhibiting capacity which seems to be better than that of central ion but to be worse than that of ligand.

**Keywords.** Complex, amino acid, L-aspartic acid, rare-earth element, tecbi, biological activity.

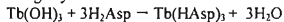
## 1. MỞ ĐẦU

Phức chất của nguyên tố đất hiếm với các axinoxit đã được nghiên cứu từ lâu. Tuy nhiên, hiện nay chúng vẫn đang được nhiều nhà hóa học trên thế giới quan tâm chủ ý bởi ngày càng tìm ra được những ứng dụng mới trong nhiều lĩnh vực khác nhau: sinh học, nông nghiệp, y dược, ...[4-8]. Trong bài báo này chúng tôi thông báo kết quả tổng hợp và thăm dò hoạt tính sinh học phức chất của Tecbi với axit L-aspartic.

## 2. THỰC NGHIỆM.

### 2.1. Tổng hợp phức chất

Phức chất được điều chế bằng cách hòa tan hidroxit đất hiếm mới sinh trong dung dịch axit L-aspartic (H<sub>2</sub>Asp) theo tỷ lệ mol Tb(OH)<sub>3</sub>:H<sub>2</sub>Asp = 1:3 ở nhiệt độ 60-65 °C trong 6 giờ [3]. Phương trình phản ứng xảy ra:



Tinh thể phức được rửa bằng etanol và làm khô trong bình hút ẩm. Phức chất hút ẩm và dễ chảy rửa trong không khí, tan tốt trong nước, kém tan trong các dung môi hữu cơ như metanol, etanol,....

### 2.2. Xác định thành phần của phức chất

Hàm lượng Tecbi được xác định bằng cách nung một lượng xác định phức chất ở nhiệt độ 900 °C

trong 2 giờ, ở nhiệt độ này phức chất bị phân huỷ và chuyển về dạng oxit Tb<sub>2</sub>O<sub>3</sub>. Hoà tan oxit này bằng HCl loãng rồi chuẩn độ ion Tb<sup>3+</sup>, bằng dung dịch DTPA, chỉ thị asenazo(III), dung dịch đậm có pH = 4,2.

Hàm lượng nitơ và cacbon xác định trên máy phân tích đa nguyên tố Truspec CNS Leco(Mỹ).

### 2.3. Xác định cấu trúc của phức chất

- Phương pháp phân tích nhiệt: Gián đồ phân tích nhiệt được ghi trên máy DTG-60H Shimadzu, với tốc độ nâng nhiệt là 10 °C/phút trong môi trường không khí, khoảng nhiệt độ từ 30 °C đến 900 °C.

- Phương pháp phổ hấp thụ hồng ngoại: Phổ hấp thụ hồng ngoại của axit L-aspartic và phức chất được ghi trên máy Magna IR 760 Spectrometer ESP Nicinet (Mỹ) trong vùng tần số từ 400-4000 cm<sup>-1</sup>, các mẫu được trộn đều, nghiền nhỏ và ép viên với KBr.

### 2.4. Thăm dò hoạt tính sinh học của phức chất

Khảo sát ảnh hưởng của phức chất Tb(HAsp)<sub>3</sub>.3H<sub>2</sub>O đến sự nảy mầm và phát triển mầm của hạt lạc.

**Phương pháp thí nghiệm:** Chọn 6 mẫu hạt lạc, mỗi mẫu 50 hạt kích thước tương đối đồng đều (khối lượng 0,61±0,01 g). Ngâm các mẫu hạt trong nước cát thời gian là 4 giờ, sau đó vớt ra ngâm thêm 3 giờ vào các dung dịch phức chất có nồng độ là 30, 60, 120, 180 và 240 ppm (nồng độ tính theo ion kim loại). Mẫu so sánh vẫn ngâm trong nước cát. Thể tích các

dung dịch phức chất và nước cất đem ngâm là 150 mL. Ngâm dù thời gian sau đó vớt ra và út hạt trong cốc 500 mL, được lót dưới và dây trên bằng giấy lọc, để trong tủ ấm ở 30 °C. Các dung dịch ngâm được thu hồi để ngâm mầm lại lần sau. Hàng ngày ngâm mầm hạt bằng các dung dịch phức và nước cất theo thứ tự các mẫu, ngày ngâm 3 lần, mỗi lần 30 phút. Sau khi mầm hạt phát triển được số ngày tuổi nhất định, chúng tôi tiến hành xác định tỷ lệ mầm của hạt, do độ dài thân và rễ của từng mầm trong các mẫu thí nghiệm. Các thí nghiệm được lặp lại 7 lần.

### 3. KẾT QUẢ VÀ THẢO LUẬN

Kết quả phân tích thành phần % các nguyên tố (Tb, C, N) trong phức chất được trình bày ở bảng 1.

Bảng 1: Kết quả phân tích thành phần (%) các nguyên tố (Ln, C, N) của phức chất

| Công thức giả thiết | Tb(HAsp) <sub>3</sub> .3H <sub>2</sub> O |             |
|---------------------|--|-------------|
|                     | Lý thuyết                                | Thực nghiệm |
| Tb                  | 26,08                                    | 26,25       |
| C                   | 23,66                                    | 24,01       |
| N                   | 6,89                                     | 7,14        |

Bảng 2: Kết quả phân tích giàn đồ nhiệt của phức chất

| Phức chất                                | Hiệu ứng thu nhiệt |                       |        | Hiệu ứng tòa nhiệt |                       |        | Dự đoán cấu tử tách ra hoặc phân hủy | Dự đoán sản phẩm cuối cùng     |  |  |
|--|--------------------|-----------------------|--------|--------------------|-----------------------|--------|--------------------------------------|--------------------------------|--|--|
|  | t° (pic)           | Độ giảm khối lượng, % |        | t° (pic)           | Độ giảm khối lượng, % |        |                                      |                                |  |  |
|  |                    | LT                    | TN     |                    | LT                    | TN     |                                      |                                |  |  |
| Tb(HAsp) <sub>3</sub> .3H <sub>2</sub> O | 178,46             | 8,871                 | 8,667  |                    |                       | -      | 3H <sub>2</sub> O                    |                                |  |  |
|  | 247,50             | 21,682                | 21,476 |                    |                       |        | 1 HAsp                               |                                |  |  |
|  | 388,09             | 21,682                | 20,392 | 509,38             | 21,682                | 21,112 | 1 HAsp                               |                                |  |  |
|  | -                  | -                     |        | 30,022             | 28,353                |        | 1 HAsp                               | Tb <sub>4</sub> O <sub>7</sub> |  |  |

(-) Không xác định; LT: lý thuyết; TN: thực nghiệm.

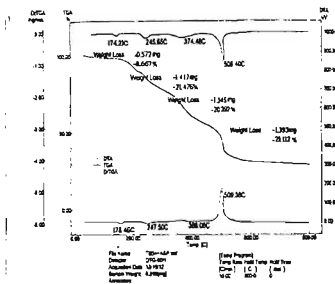
Từ giàn đồ phân tích nhiệt của phức chất (hình 1) nhận thấy:

- Giàn đồ phân tích nhiệt của các phức chất có dạng giống nhau, chứng tỏ chúng có cấu trúc tương tự nhau.

- Phức chất có ba hiệu ứng thu nhiệt và một hiệu ứng tòa nhiệt. Khi tính toán độ giảm khối lượng trên đường TGA, thấy rằng: phức chất có xấp xỉ 3 phân tử nước tách ra ở hiệu ứng thu nhiệt thứ nhất, nhiệt

kết quả bảng 1 cho thấy, hàm lượng Tb, C, N xác định bằng thực nghiệm so với lý thuyết (tính theo công thức giả thiết) khác nhau không nhiều, chúng tôi cho rằng công thức giả thiết của phức chất là hợp lý. Ở công thức giả thiết của phức chất, số phân tử nước xác định bằng thực nghiệm theo phương pháp phân tích nhiệt ở phần sau.

- Giàn đồ nhiệt và kết quả phân tích giàn đồ nhiệt của phức chất được trình bày ở hình 1 và bảng 2.



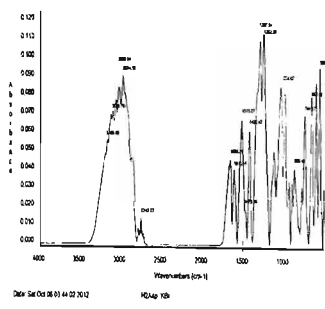
Hình 1: Giàn đồ phân tích nhiệt của phức chất Tb(HAsp)<sub>3</sub>.3H<sub>2</sub>O

độ tách 3 phân tử nước khá cao là 178,46 °C cho phép giả thiết là các phân tử nước có thể di vào trong cầu phổi trí [2]. Các hiệu ứng tòa nhiệt và thu nhiệt còn lại ứng với quá trình cháy và phân hủy lần lượt các thành phần của phức chất, sản phẩm cuối cùng là oxit đất hiếm.

Phô hồng ngoại và kết quả nghiên cứu phô hồng ngoại của axit L-aspartic và phức chất được trình bày trên hình 2, 3 và bảng 3.

Bảng 3: Các tần số hấp thụ đặc trưng ( $\text{cm}^{-1}$ ) của axit L-aspartic và phức chất

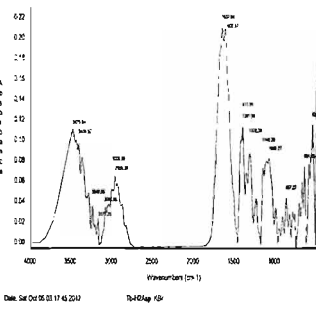
| Hợp chất                   | $\nu_{\text{OH}^-}$ | $\nu_{\text{NH}_3^+}$ | $\nu_{\text{as}}^{\text{COO}^-}$ | $\nu_x^{\text{COO}^-}$ | $\Delta \nu_{\text{as}-x}^{\text{COO}^-}$ |
|----------------------------|---------------------|-----------------------|----------------------------------|------------------------|---|
| axit L-aspartic            | -                   | 3029,91               | 1655,21                          | 1422,47                | 232,74                                    |
| Tb(HAsp).3H <sub>2</sub> O | 3479,64             | 3008,50               | 1637,66                          | 1391,98                | 245,68                                    |



Hình 2: Phô hấp thụ hồng ngoại của axit L-aspartic

Trong phô hồng ngoại của axit L-aspartic, dải hấp thụ ở tần số 3029,91  $\text{cm}^{-1}$  quy cho dao động hóa trị của nhóm  $\text{NH}_3^+$ , dải hấp thụ ở 1655,21  $\text{cm}^{-1}$  và 1422,47  $\text{cm}^{-1}$  đặc trưng cho dao động hóa trị bất đối xứng và đối xứng của nhóm  $\text{COO}^-$  [3].

Có thể nhận thấy phô hấp thụ hồng ngoại phức chất của  $\text{Tb}^{3+}$  với axit L-aspartic là khác với phô của phối tử tự do về hình dạng cũng như vị trí của các dải hấp thụ đặc trưng. Điều này cho biết sự tạo phức đã xảy ra giữa ion  $\text{Tb}^{3+}$  với axit L-aspartic. Khi so sánh phô hồng ngoại của phức chất với phô của axit L-aspartic ở trạng thái tự do, nhận thấy dải hấp thụ ở 1655,21  $\text{cm}^{-1}$  và 1422,47  $\text{cm}^{-1}$  đặc trưng cho dao động hóa trị bất đối xứng và đối xứng của nhóm  $\text{COO}^- (\nu_{\text{as}}^{\text{COO}^-})$  trên phô của axit L-aspartic tự do bị dịch chuyển sang vùng tần số thấp hơn 1637,66  $\text{cm}^{-1}$  và 1391,98  $\text{cm}^{-1}$  trên phô của phức chất. Điều này chứng tỏ nhóm cacboxyl của axit L-aspartic đã phối trí với ion  $\text{Tb}^{3+}$ . Sự chênh lệch  $\Delta \nu_{\text{as}-x}^{\text{COO}^-}$  của phức chất lớn hơn so với của axit L-aspartic tự do, chứng tỏ axit L-aspartic đã liên kết với  $\text{Tb}^{3+}$  qua nguyên tử oxi của nhóm cacboxyl. Dải dao động hóa trị ( $\nu_{\text{NH}_3^+}$ ) của nhóm  $\text{NH}_3^+$  trên phô của axit L-aspartic ở 3029,91

Hình 3: Phô hấp thụ hồng ngoại của Tb(HAsp).3H<sub>2</sub>O

$\text{cm}^{-1}$  bị dịch chuyển về vùng tần số thấp hơn 3008,50  $\text{cm}^{-1}$  trên phô của phức chất, chứng tỏ axit L-aspartic cũng đã liên kết với ion  $\text{Tb}^{3+}$  qua nguyên tử nitơ của nhóm amin. Ngoài ra trên phô của phức chất còn xuất hiện dải hấp thụ ở tần số 3479,64  $\text{cm}^{-1}$  đặc trưng cho dao động hóa trị của nhóm  $\text{OH}^-$  của nước, điều này chứng tỏ trong thành phần của phức có chứa nước và hoàn toàn phù hợp với kết quả nghiên cứu phức chất bằng phương pháp phân tích nhiệt ó trên.

Khảo sát ảnh hưởng của phức chất Tb(HAsp).3H<sub>2</sub>O đến sự nảy mầm và phát triển mầm của hạt lác

#### Ảnh hưởng của nồng độ phức chất đến sự nảy mầm của hạt lác

Sau khi ủ hạt được một ngày, đêm số hạt này mầm từ đó tính tỷ lệ này mầm của hạt. Kết quả được trình bày ở bảng 4.

Kết quả ở bảng 4 cho thấy, phức chất có tác dụng ức chế sự nảy mầm của hạt lác, sự ức chế làm giảm tỷ lệ này mầm của hạt lác. Sự ức chế rõ rệt ở nồng độ 120 ppm và tăng theo nồng độ.

#### Ảnh hưởng của nồng độ phức chất đến sự phát triển mầm của hạt lác

Khi mầm hạt phát triển được 4 ngày tuổi, chúng tôi tiến hành đo chiều cao của thân và độ dài của rễ.

Bảng 4: Ảnh hưởng của nồng độ phức Tb(HAsp)<sub>3</sub>.3H<sub>2</sub>O đến sự này mầm của hạt lạc

| Mẫu                    | 1                   | 2     | 3     | 4     | 5     | 6     |
|------------------------|---------------------|-------|-------|-------|-------|-------|
| Nồng độ phức chất, ppm | 0(H <sub>2</sub> O) | 30    | 60    | 120   | 180   | 240   |
| Tỷ lệ này mầm, %       | 90,00               | 86,12 | 82,05 | 74,15 | 68,06 | 62,00 |
| N (số lần lặp lại)     |                     |       | 7     |       |       |       |

Bảng 5: Ảnh hưởng của nồng độ phức chất Tb(HAsp)<sub>3</sub>.3H<sub>2</sub>O đến sự phát triển mầm của hạt lạc

| Mẫu                | 1                    | 2     | 3     | 4     | 5     | 6     |
|--------------------|----------------------|-------|-------|-------|-------|-------|
|                    | 0 (H <sub>2</sub> O) | 30    | 60    | 120   | 180   | 240   |
| Thời gian, ngày    | 4                    |       |       |       |       |       |
| $\bar{d}_T$ , cm   | 1,66                 | 1,55  | 1,49  | 1,23  | 1,11  | 1,07  |
| $\bar{d}_R$ , cm   | 3,91                 | 3,64  | 3,15  | 1,93  | 1,76  | 1,52  |
| A <sub>T</sub> , % | 100                  | 93,37 | 89,76 | 74,09 | 66,87 | 64,46 |
| A <sub>R</sub> , % | 100                  | 93,09 | 80,56 | 49,36 | 45,01 | 38,87 |
| n                  | 7                    |       |       |       |       |       |

$\bar{d}_T$ : là độ dài trung bình của thân mầm lạc;  $\bar{d}_R$ : là độ dài trung bình của rễ mầm lạc; A<sub>T</sub>: là % độ dài thân so với đối chứng; A<sub>R</sub>: là % độ dài rễ so với đối chứng.

Từ kết quả bảng 5 cho thấy phức chất có tác dụng ức chế sự phát triển mầm của hạt lạc. Sự ức chế làm giảm chiều cao của mầm và độ dài của rễ. Sự ức chế rõ rệt ở nồng độ 120 ppm và tăng theo nồng độ.

- Thăm dò sự ảnh hưởng của nồng độ phức chất đến một số chỉ tiêu sinh hóa có trong mầm của hạt lạc.

Xác định một số chỉ tiêu sinh hóa: protein theo phương pháp Lowry, hoạt độ proteaza theo phương pháp Anson cải tiến, hoạt độ lipaza theo tài liệu [1].

Kết quả phân tích hàm lượng protein, hoạt độ proteaza và lipaza trong mầm hạt lạc khi tác động phức chất Tb(HAsp)<sub>3</sub>.3H<sub>2</sub>O được trình bày ở bảng 6.

Kết quả ở bảng 6 cho thấy, trong khoảng nồng độ khéo sát từ 30 ppm đến 240 ppm, phức chất có tác dụng làm tăng hàm lượng protein, hoạt độ proteaza và lipaza trong mầm hạt lạc. Hàm lượng protein, hoạt độ proteaza và lipaza tăng theo nồng độ của phucus.

Bảng 6: Ảnh hưởng của nồng độ phức chất Tb(HAsp)<sub>3</sub>.3H<sub>2</sub>O đến hàm lượng protein, hoạt độ proteaza và lipaza trong mầm hạt lạc

| Nồng độ phức chất, ppm | Hàm lượng protein, % | Tỷ lệ % so với đối chứng | Đơn vị hoạt độ proteaza, mg/ml | Tỷ lệ % so với đối chứng | Đơn vị hoạt độ lipaza, mg/ml | Tỷ lệ % so với đối chứng |
|------------------------|----------------------|--------------------------|--------------------------------|--------------------------|------------------------------|--------------------------|
| 0                      | 24,68                | 100                      | 0,472                          | 100                      | 0,745                        | 100                      |
| 30                     | 25,22                | 102,19                   | 0,482                          | 102,11                   | 0,749                        | 100,53                   |
| 60                     | 25,97                | 105,22                   | 0,491                          | 104,02                   | 0,747                        | 100,26                   |
| 120                    | 26,45                | 107,17                   | 0,505                          | 106,99                   | 0,812                        | 108,99                   |
| 180                    | 27,00                | 109,40                   | 0,512                          | 108,47                   | 0,831                        | 111,54                   |
| 240                    | 27,89                | 113,00                   | 0,527                          | 111,65                   | 0,849                        | 113,95                   |

#### 4. KẾT LUẬN

Đã tổng hợp được phức rắn của  $Tb^{3+}$  với axit L-aspartic. Bằng phương pháp phân tích nguyên tố, phân tích nhiệt và phổ hấp thụ hồng ngoại, cho thấy phức rắn có thành phần là  $Tb(HAsp)_3 \cdot 3H_2O$ . Mỗi phân tử axit L-aspartic chiếm 2 vị trí phối tri trong phức chất, liên kết với ion  $Tb^{3+}$  qua nguyên tử oxi của nhóm cacboxyl và qua nguyên tử nitơ của nhóm amin.

Đã chỉ ra được phức chất  $Tb(HAsp)_3 \cdot 3H_2O$  có tác dụng ức chế sự mầm màng, phát triển mầm màng của hạt lạc. Trong khoảng nồng độ khảo sát từ 30 ppm đến 240 ppm, sự ức chế rõ rệt ở nồng độ 120 ppm và tăng theo nồng độ. Phức chất có tác dụng làm tăng hàm lượng protein, hoạt độ proteaza và lipaza trong mầm hạt lạc. Hàm lượng protein, hoạt độ proteaza và lipaza tăng theo nồng độ của phức.

#### TÀI LIỆU THAM KHẢO

1. Phạm Thị Trần Châu, Trần Thị Áng. *Hóa sinh học*, Nxb. Giáo dục (1998).
2. Lê Chí Kiên. *Hóa học phức chất*, Nxb. Đại học Quốc gia Hà Nội (2007).

3. Farooq et al. *Complex compounds of trivalent rare earths with L-aspartic acid*, Chem Abs., 82, 92427p, (1975).
4. Julia Torres, Carlos Kremer, Helena Pardo, Leopoldo Suescun, Alvaro Mombrú, Jorge Castiglioni, Sixto Domínguez, Alfredo Mederos, Eduardo Kremer. *Preparation and crystal structure of new samarium complexes with glutamic acid*, Journal of Molecular Structure, 660, 99-106 (2003)
5. Moamen S. Refat, Sabry A. El-Korashy, Ahmed S. Ahmed. *Preparation, structural characterization and biological evaluation of L-Tyrosinate metal ion complexes*, Journal of Molecular Structure, 881, 28-45 (2008).
6. Yang Yuetao, Zhang Shuyi. *Photoacoustic spectra of complexes of phenylalanine with  $La^{3+}$ ,  $Na^{3+}$ ,  $Sm^{3+}$ , and  $Tb^{3+}$* , Journal of Molecular structure, 646, 103-109 (2003).
7. Hao Xu, Liang Chen. *Study on the complex site of L-Tyrosine with rare - earth element  $Eu^{3+}$* , Spectrochimica Acta Part A, 59, 657-662 (2003).
8. Zhang, Zhong - Hai KU, Zong - Jun LIU, Yi QU, Song - Sheng. *Study on Thermochemistry and Thermal Decomposition Kinetics of  $Dy(Tyr)(Gly)_3Cl_3 \cdot 3H_2O$* , Chinese Journal of Chemistry, 23, 1146-1150 (2005).

#### Liên hệ: Lê Hữu Thiều

Khoa Hóa học

Trường Đại học Sư phạm - Đại học Thái Nguyên  
Số 20, Đường Lương Ngọc Quyến, Thành phố Thái Nguyên  
Điện thoại: 0982.859.002.